

NeuroCuts - Neural Packet Classification

Classificador de Pacotes Neural

Autores: Eric Liang¹, Hang Zhu², Xin Jin², Ion Stoica¹
¹UC Berkeley, ²JHU

Uma nova abordagem de bits efetivos (BE)
para endereços IPv4 como estudo de
caso: NeuroCuts.

Discentes:
Eliton Luiz Scardin Perin
Jonathan Aldori Alves de Oliveira



Objetivo:

- Principal:
 - Melhorar a utilização da memória do NeuroCuts com a utilização de técnicas que façam uso apenas do bits efetivos (BE) necessários para identificar o conjunto de regras.
- Específicos:
 - Sintetizar a árvore gerada pelo NeuroCut usando bits efetivos (BE).
 - Utilizar os BE para otimizar as entradas da regra (Endereços de Origem e Destino).
 - Produzir um autoajuste no aprendizado por reforço no NeuroCuts, afim de encontrar um melhor trade-off entre utilização da memória e desempenho no tempo para classificação do pacote.

ClassBrench utilizados:

- Aplicação de BE:

- acl1_1k
- acl1_10k
- acl1_100k
- acl2_1k
- acl2_10k
- acl2_100k
- acl3_1k
- acl3_10k
- acl3_100k
- acl4_1k
- acl4_10k
- acl4_100k
- acl5_1k
- acl5_10k
- acl5_100k
- fw1_1k
- fw1_10k
- fw1_100k
- fw2_1k
- fw2_10k
- fw2_100k
- fw3_1k
- fw3_10k
- fw3_100k
- fw4_1k
- fw4_10k
- fw4_100k
- fw5_1k
- fw5_10k
- fw5_100k
- ipc1_1k
- ipc1_10k
- ipc1_100k
- ipc2_1k
- ipc2_10k
- ipc2_100k

ClassBrench utilizados:

- NeuroCuts original versus NeuroCutsBE:

- acl2_1k
- acl4_1k
- fw1_1k
- fw2_1k
- fw3_1k
- fw4_1k
- fw5_1k
- ipc1_1k
- ipc2_1k

Tempo e poder computacional foi limitado!

Compreenda endereços IP

- O endereço IP (Internet Protocol) é um endereço usado para identificar de maneira única um dispositivo em uma rede IP. O endereço é composto de 32 bits.
- Os 32 bits são divididos em quatro octetos (1 octeto = 8 bits). Cada octeto é convertido em decimal e separado por um ponto final (ponto).
- Por esse motivo, um endereço IP deve ser expressado no formato decimal pontuado (por exemplo, 192.168.0.1). O valor em cada octeto varia de 0 a 255 decimais ou de 00000000 a 11111111 em binário.

Compreenda BE

10.	1.	1.	19	Decimal
00001010	00000001	00000001	00010011	Binário

Endereço IP normal

1	10.	1.	1.	0	Decimal	EB
1	00001010	00000001	1		Binário	18

1	10.	1.	0.	0	Decimal	EB
1	00001010	1			Binário	10

1	10.	0.	0.	0	Decimal	EB
1	1010				Binário	5

1	10.	19.	0.	0	Decimal	EB
1	00001010	10011			Binário	14

Um bit com valor 1 no início de cada endereço, se faz necessário pois perdemos os bits zerados mais a esquerda nos casos de conversão para decimal e podemos ainda ter colisão de endereços com a aplicação de BE.

Algoritmos para seleção do BE

Algoritmo 2: Algoritmo que retorna o bits efetivos do endereço IPv4 (removeNBE)

Entrada: Valor do octeto de bits que sera avaliado

Saída: bits efetivos (BE) do octeto recebido

```

1 valor = 0;
2 comparar = verdadeiro;
3 valorBE = "";
4 foreach caracter in octeto do
5     if comparar then
6         valor = int(caracter);
7         if valor==1 then
8             comparar = Falso;
9             valorBE += caracter;
10        else
11            valorBE += caracter;
12        end
13 end
14 retorna valorBE;
```

Algoritmo 1: Algoritmo que retorna o bits efetivos do endereço IPv4

Entrada: Valores do endereço de origem inicial e final, endereço de destino inicial e final.

Saída: Valor do endereço de origem inicial e final, endereço de destino inicial e final com os BE.

```

1 s = retornaBinario(enderecoIP);
2 s1 = converteDecimal(s[0:8]);
3 s2 = converteDecimal(s[8:16]);
4 s3 = converteDecimal(s[16:24]);
5 s4 = converteDecimal(s[24:32]);
6 enderecoBE = 0;
7 if s4==0 then
8     if s4==0 and S3==0 then
9         if s4 == 0 and s3 == 0 and s2 == 0 then
10             enderecoBE = removeNBE(s[0:8]);
11         else
12             enderecoBE = s[0:8] + removeNBE(s[8:16]);
13         end
14     else
15         enderecoBE = s[0:16] + removeNBE(s[16:24]);
16     end
17 else
18     enderecoBE = s[0:24] + removeNBE(s[24:36]);
19 end
    /* Problema da conversão de decimal com zeros a
       esquerda e colisão de endereços */
20 enderecoBE = '1' + enderecoBE;
21 retorna converteDecimal(enderecoBE)
```

Algoritmos para retornar os bits não BE

Algoritmo 4: Algoritmo que retorna o bits do octeto original do endereço IPv4 (retornaB)

Entrada: Valor do octeto de bits que sera avaliado

Saída: octeto original

```
1 valor = '00000000' + octeto;  
2 valor = valor[len(valor)-8:len(valor)];  
3 retorna valor;
```

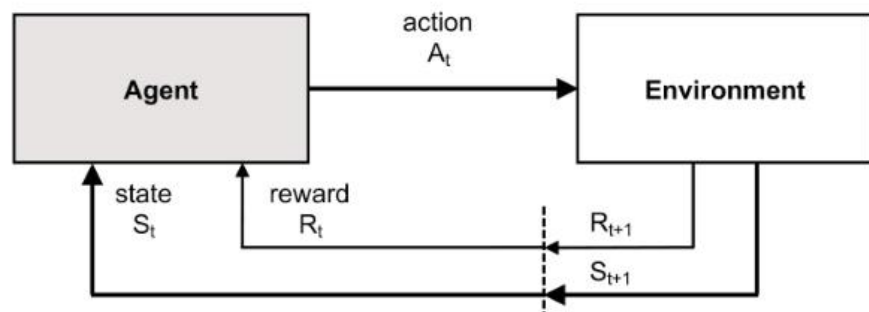
Algoritmo 3: Algoritmo que retorna O endereço IP v4 original (retornaOriginal)

Entrada: Valores do endereço com os EB

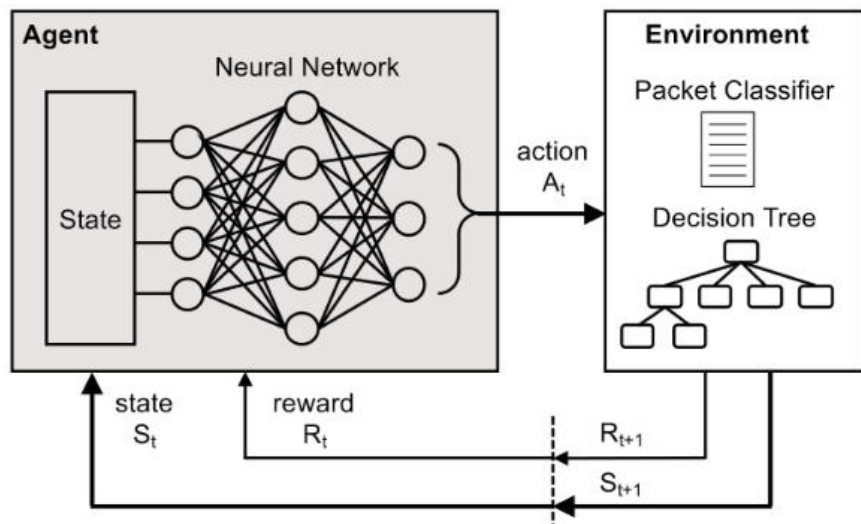
Saída: Valores do endereço original sem os EB

```
1 tccRemove o 1 inserido para resolver o problema da  
  conversão de decimal com zeros a esquerda e colisão de  
  endereços s = retornaBinario(enderecoIPBE);  
2 s = s[1:];  
3 if len(s) <= 8 then  
4   | s = retornaB(s) + '000000000000000000000000';  
5 else  
6   | if len(s) > 8 and len(s) <= 16 then  
7     | s = s[0:8] + retornaB(s[8:len(s)]) +  
       | '0000000000000000';  
8   | else  
9     | if len(s) > 16 and len(s) <= 24 then  
10    |   | s = s[0:16] + retornaB(s[16:len(s)]) + '00000000';  
11    |   | else  
12    |   |   | s = s[0:24] + retornaB(s[24:len(s)]);  
13    |   | end  
14   | end  
15 end  
16 retorna converteDecimal(s)
```

Diagrama do funcionamento do algoritmo de aprendizado por reforço.

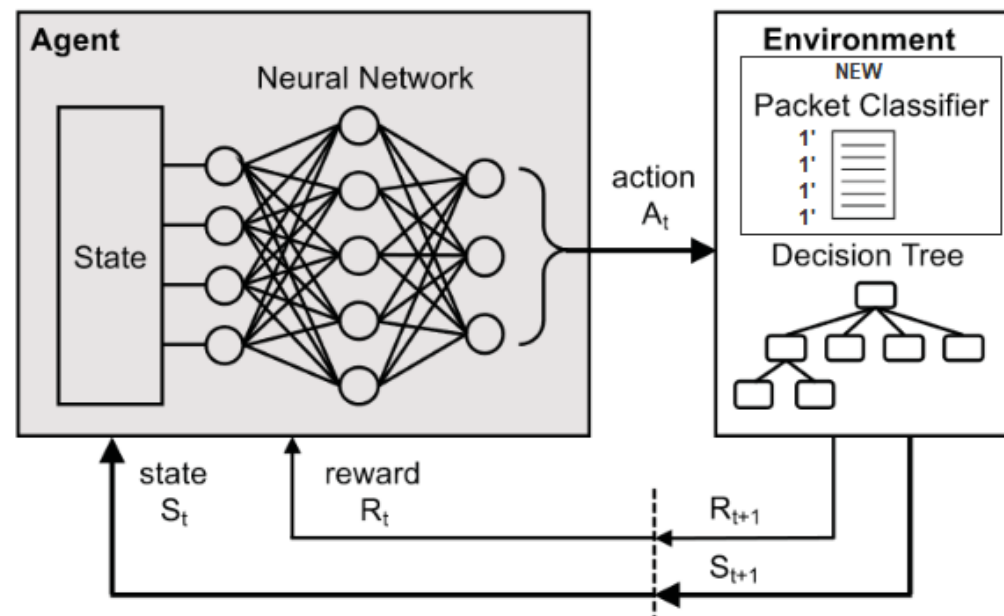
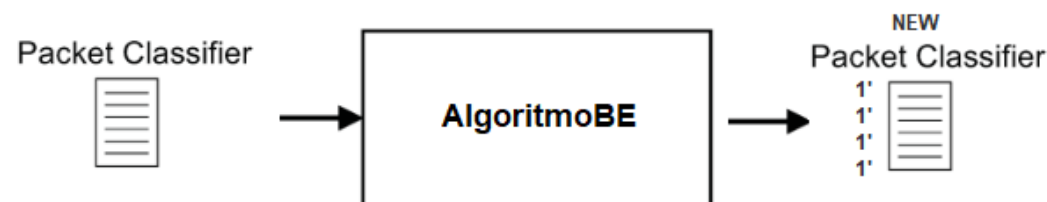


(a)



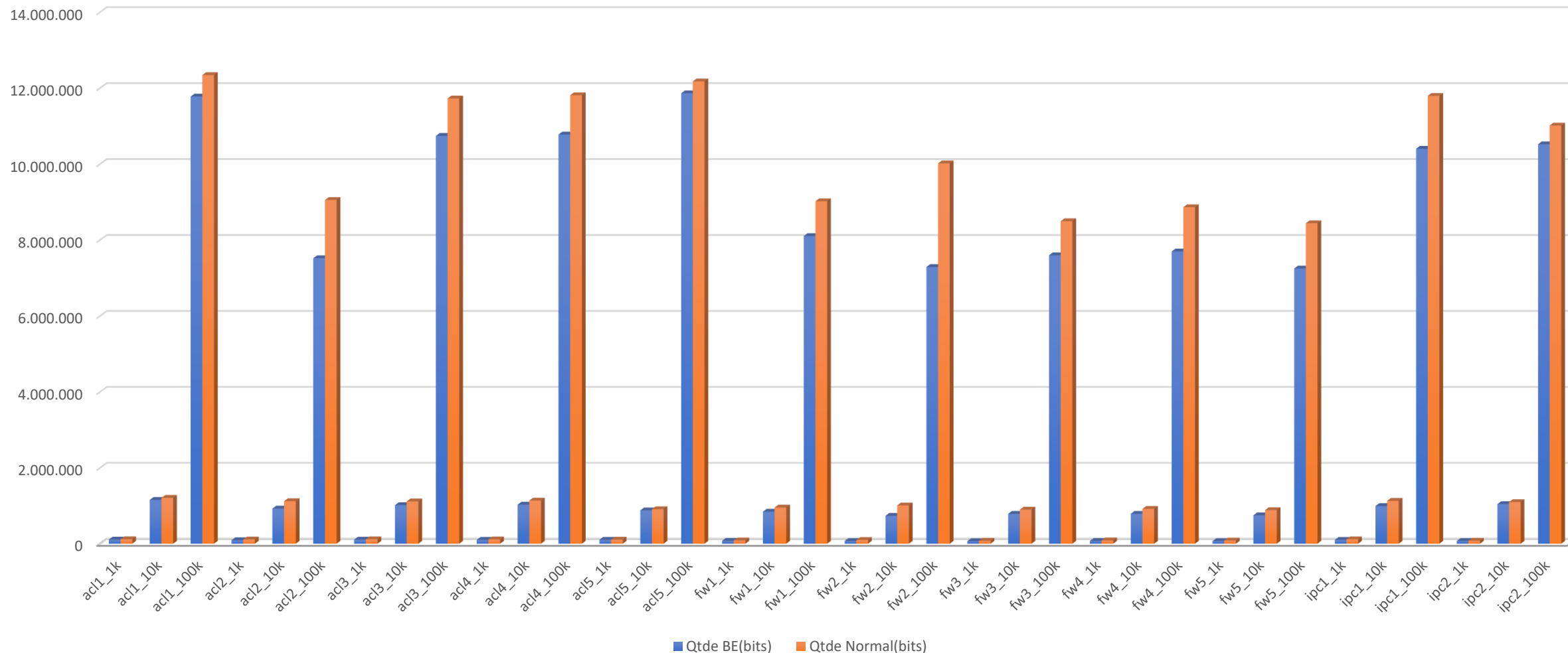
(b)

NeuroCutsBE



Comparativo da quantidade de bits BE X Normal por arquivo.

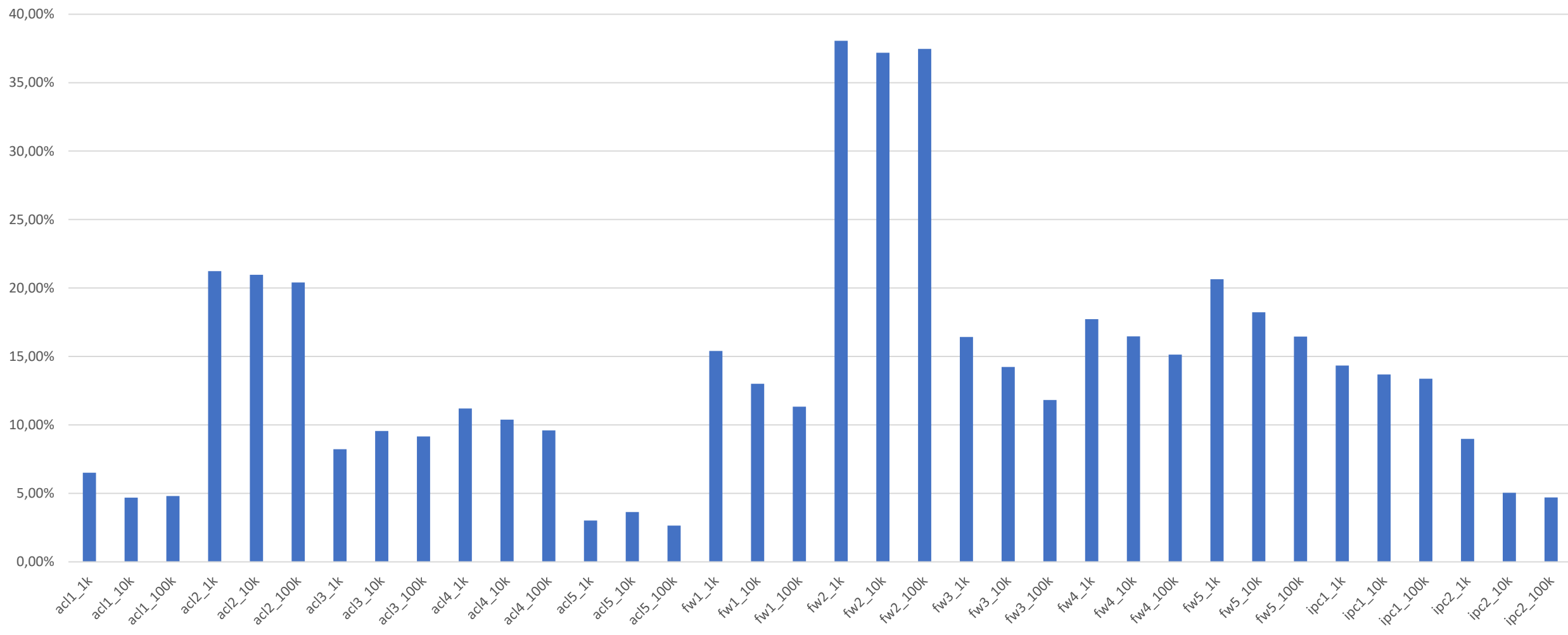
Comparativo da quantidade de bits BE X Normal por arquivo





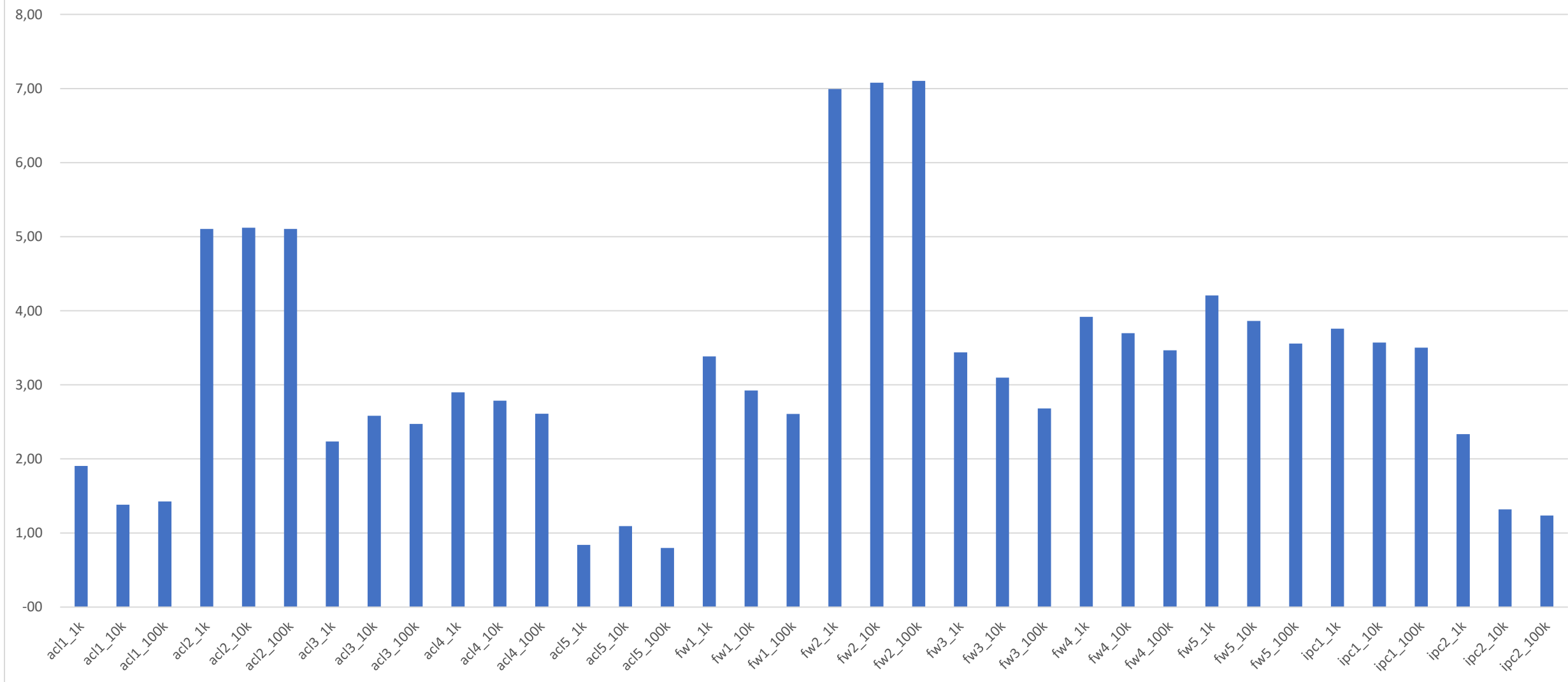
Percentual de melhora na utilização do espaço por arquivo

Percentual de melhora na utilização do espaço por arquivo

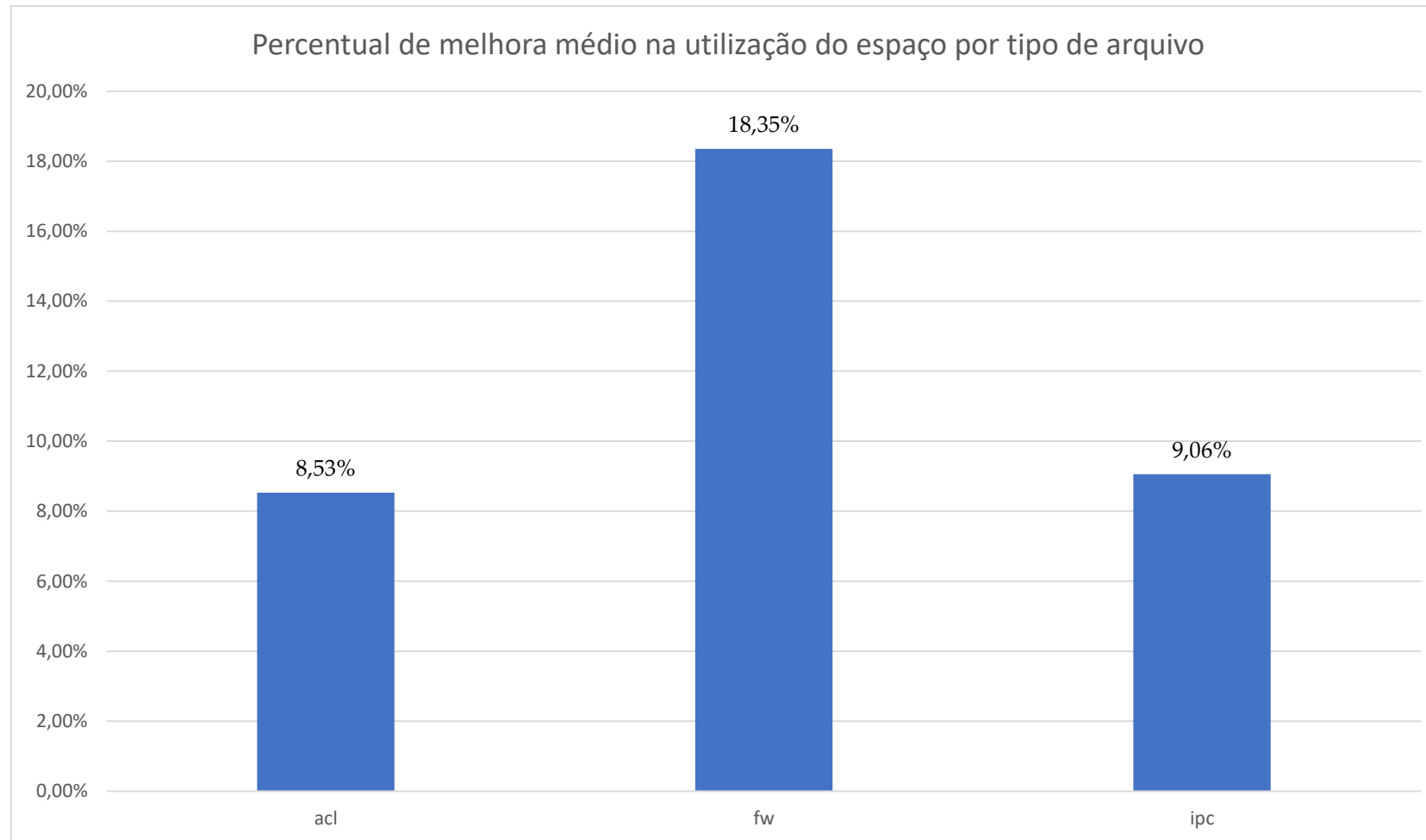


Média de bits economizado por endereço e arquivo

Média de bits economizado por endereço IPv4 e arquivo

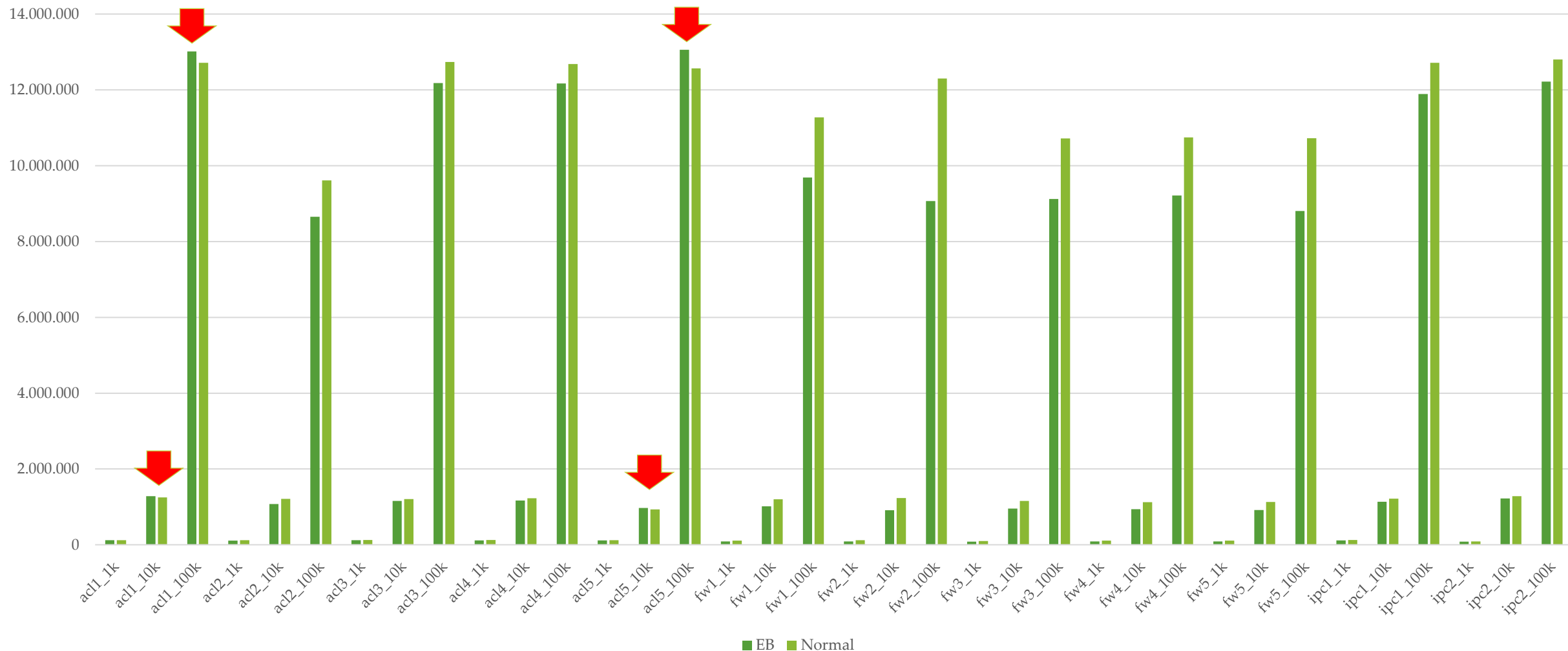


Percentual de melhora médio na utilização do espaço por tipo de arquivo



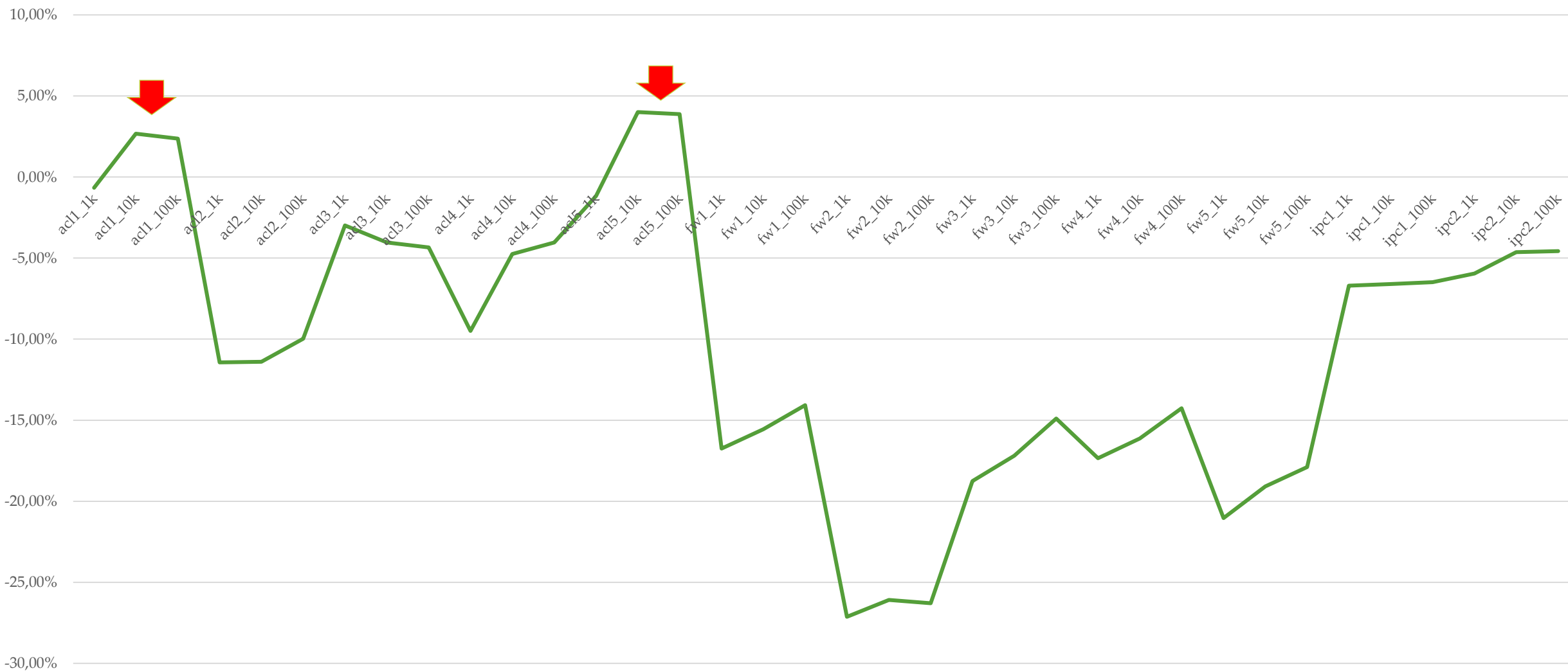
Comparativo da quantidade de bits BE X Normal por arquivo (Alocação estática)

Comparativo da quantidade de bits BE X Normal por arquivo (Alocação estática)



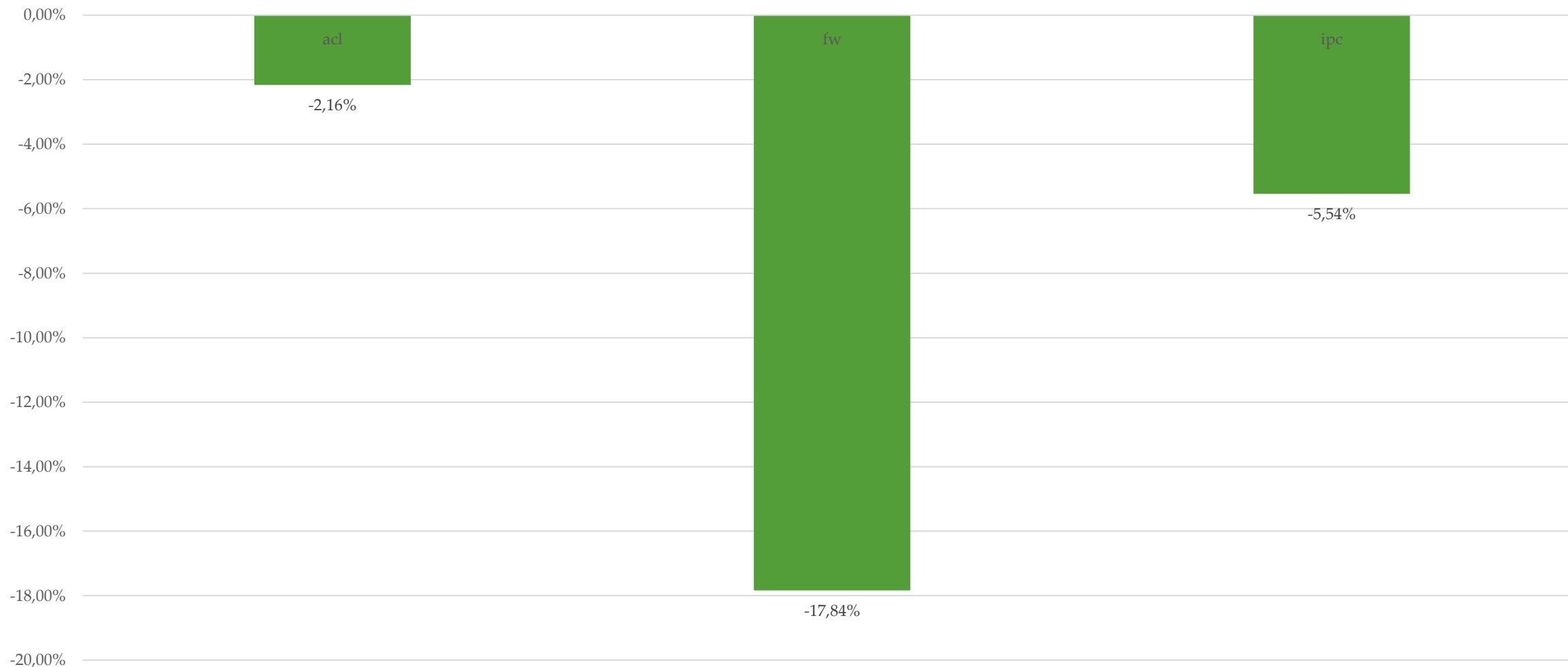
Comparativo do percentual de memória excedente necessária BE X Normal por arquivo (Alocação estática)

Comparativo do percentual de memória excedente necessária com EB versus Normal



Percentual médio da quantidade de memória por tipo de arquivo

Percentual médio da quantidade de memória excedente por tipo de arquivo



Comparativo da quantidade de bits BE X Normal por arquivo (Alocação estática)

Arquivo	Número Endereços	Endereço com 1 byte	Endereço com 2 byte	Endereço com 3 byte	Endereço com 4 byte	Endereço com 5 byte	Limitação da Alocação (bits)	Qtde Normal(bits)	Qtde Memória Excedente
acl1_1k	3.768	31	87	145	3.193	312	119.776	120.576	-0,66%
acl1_10k	39.096	198	960	3.317	24.604	10.017	1.284.560	1.251.072	2,68%
acl1_100k	397.276	1.786	8.149	21.570	285.005	80.766	13.013.152	12.712.832	2,36%
acl2_1k	3.844	310	380	852	1.518	784	108.944	123.008	-11,43%
acl2_10k	37.904	2.570	5.106	6.676	16.228	7.324	1.074.736	1.212.928	-11,39%
acl2_100k	300.400	13.723	38.881	55.742	137.263	54.791	8.653.744	9.612.800	-9,98%
acl3_1k	3.960	336	157	371	1.876	1.220	122.936	126.720	-2,99%
acl3_10k	37.676	2.867	1.628	4.251	18.915	10.015	1.156.888	1.205.632	-4,04%
acl3_100k	397.924	31.251	15.950	37.862	218.471	94.390	12.180.568	12.733.568	-4,34%
acl4_1k	3.960	308	244	312	2.875	221	114.696	126.720	-9,49%
acl4_10k	38.374	2.438	2.322	4.327	20.289	8.998	1.169.672	1.227.968	-4,75%
acl4_100k	396.208	25.367	21.115	37.051	221.226	91.449	12.167.192	12.678.656	-4,03%
acl5_1k	3.732	0	63	420	2.878	371	118.024	119.424	-1,17%
acl5_10k	29.192	0	636	2.238	18.133	8.185	971.544	934.144	4,00%
acl5_100k	392.720	9	7.111	21.520	267.369	96.711	13.054.576	12.567.040	3,88%
fw1_1k	3.428	899	212	104	1.284	929	91.328	109.696	-16,74%
fw1_10k	37.516	9.248	2.281	840	15.343	9.804	1.013.776	1.200.512	-15,55%
fw1_100k	352.324	81.238	21.080	7.680	147.180	95.146	9.687.104	11.274.368	-14,08%

Comparativo da quantidade de bits BE X Normal por arquivo (Alocação estática)

Arquivo	Número Endereços	Endereço com 1 byte	Endereço com 2 byte	Endereço com 3 byte	Endereço com 4 byte	Endereço com 5 byte	Limitação da Alocação (bits)	Qtde Normal(bits)	Qtde Memória Excedente
fw2_1k	3.884	1.271	289	449	1.249	626	90.576	124.288	-27,12%
fw2_10k	38.620	12.302	2.697	4.325	12.980	6.316	913.368	1.235.840	-26,09%
fw2_100k	384.312	123.818	25.943	44.022	127.342	63.187	9.064.584	12.297.984	-26,29%
fw3_1k	3.196	972	205	52	987	980	83.088	102.272	-18,76%
fw3_10k	36.148	9.363	2.480	962	14.193	9.150	957.848	1.156.736	-17,19%
fw3_100k	335.008	82.568	20.242	6.701	130.226	95.271	9.123.312	10.720.256	-14,90%
fw4_1k	3.388	783	201	475	1.054	875	89.608	108.416	-17,35%
fw4_10k	35.100	7.535	1.908	4.056	13.777	7.824	941.976	1.123.200	-16,13%
fw4_100k	335.868	64.367	15.859	41.107	140.239	74.296	9.214.736	10.747.776	-14,26%
fw5_1k	3.456	1.059	255	82	1.200	860	87.320	110.592	-21,04%
fw5_10k	35.332	9.848	2.641	878	13.230	8.735	914.872	1.130.624	-19,08%
fw5_100k	335.188	89.515	23.597	8.575	129.036	84.465	8.807.224	10.726.016	-17,89%
ipc1_1k	3.896	222	220	836	1.720	898	116.320	124.672	-6,70%
ipc1_10k	38.072	2.439	2.150	6.614	18.693	8.176	1.137.864	1.218.304	-6,60%
ipc1_100k	397.300	24.686	20.235	70.782	199.317	82.280	11.889.360	12.713.600	-6,48%
ipc2_1k	2.784	400	80	75	1.457	772	83.784	89.088	-5,95%
ipc2_10k	40.000	6.292	1.141	719	17.393	14.455	1.220.624	1.280.000	-4,64%
ipc2_100k	400.000	64.309	9.976	5.730	174.466	145.519	12.215.280	12.800.000	-4,57%
Total	4.910.854	674.328	256.481	401.718	2.402.209	1.176.118	143.054.960	157.147.328	-8,97%

Avaliação do BE (NeuroCutsBE) quando comparado ao NeuroCuts

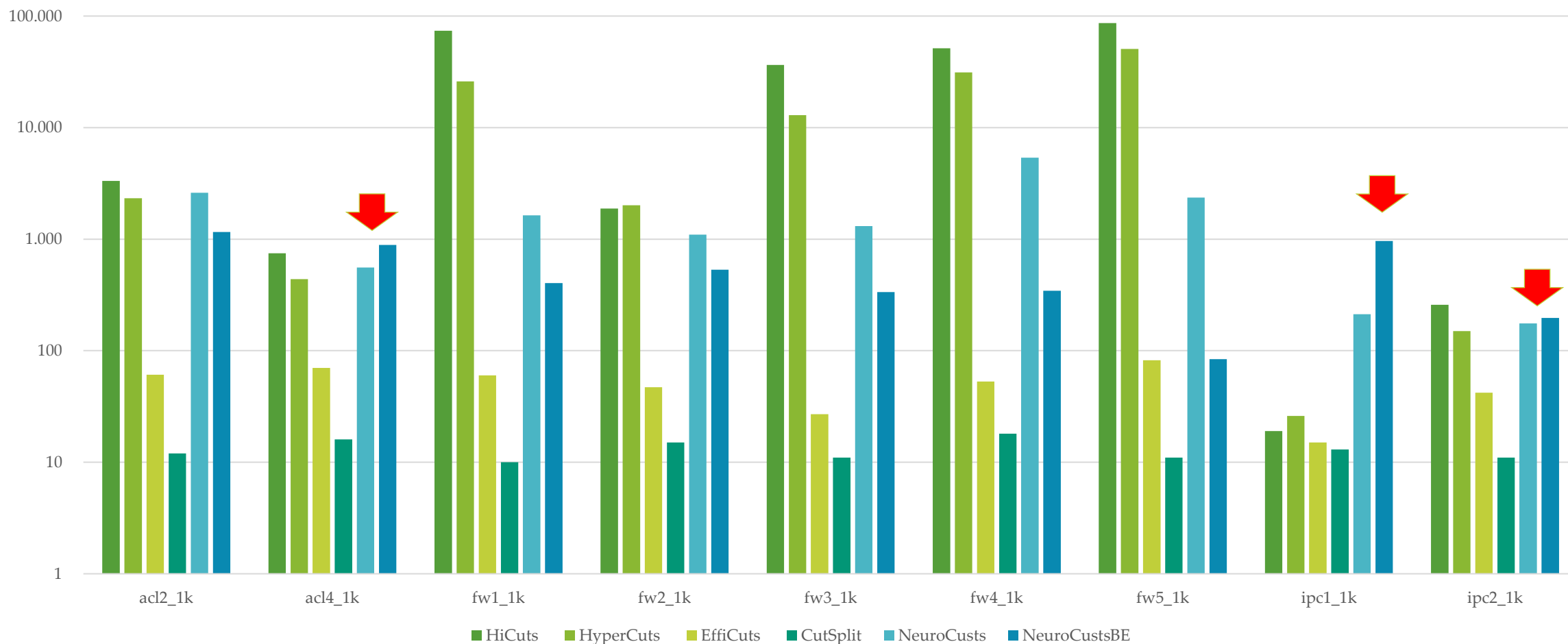
- Aplicamos os algoritmos:
 - HiCuts
 - HyperCuts
 - EffiCuts
 - CutSplit
 - NeuroCuts
 - NeuroCutsBE
- Utilizamos como parâmetros:
 - `-partition-mode : None`
 - `-depth-weight: 0 e 1 (uma rodada para cada)`

Avaliação do BE (NeuroCutsBE) quando comparado ao NeuroCuts

- Não utilizamos as demais variações possíveis ao parâmetro `-partition-mode` (simple, effcuts, cutsplit), pois como já dito anteriormente, nosso tempo e poder computacional foi limitado.
- Métricas avaliadas:
 - Quantidade de bytes por regra .
 - Profundidade da árvore.

NeuroCuts versus NeuroCutsBE

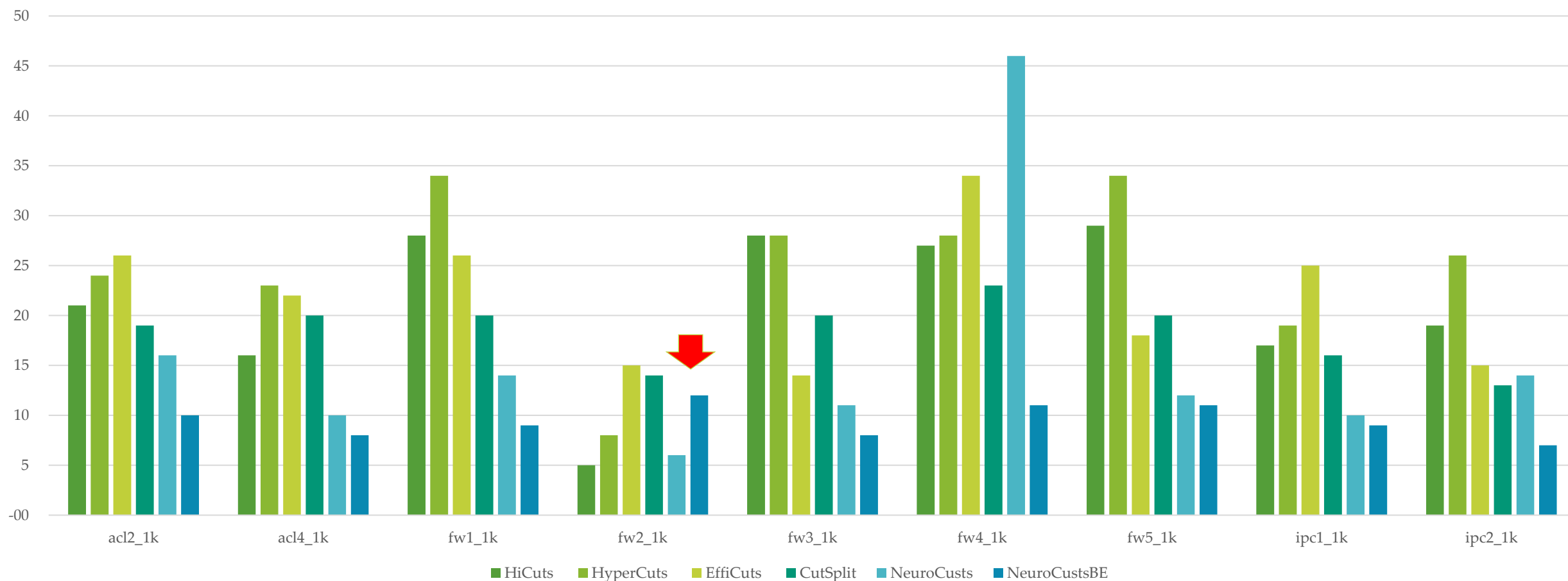
Área de cobertura da memória (Bytes por regra - Log)



Podemos observar no gráfico que nos ClassBench (acl4_1k, ipc1_1k e ipc2_1k) o NeuroCuts obteve resultado melhor que NeuroCutsBE, nos demais o resultado do NeuroCutsBE foi superior ao NeuroCuts original.

NeuroCuts versus NeuroCutsBE

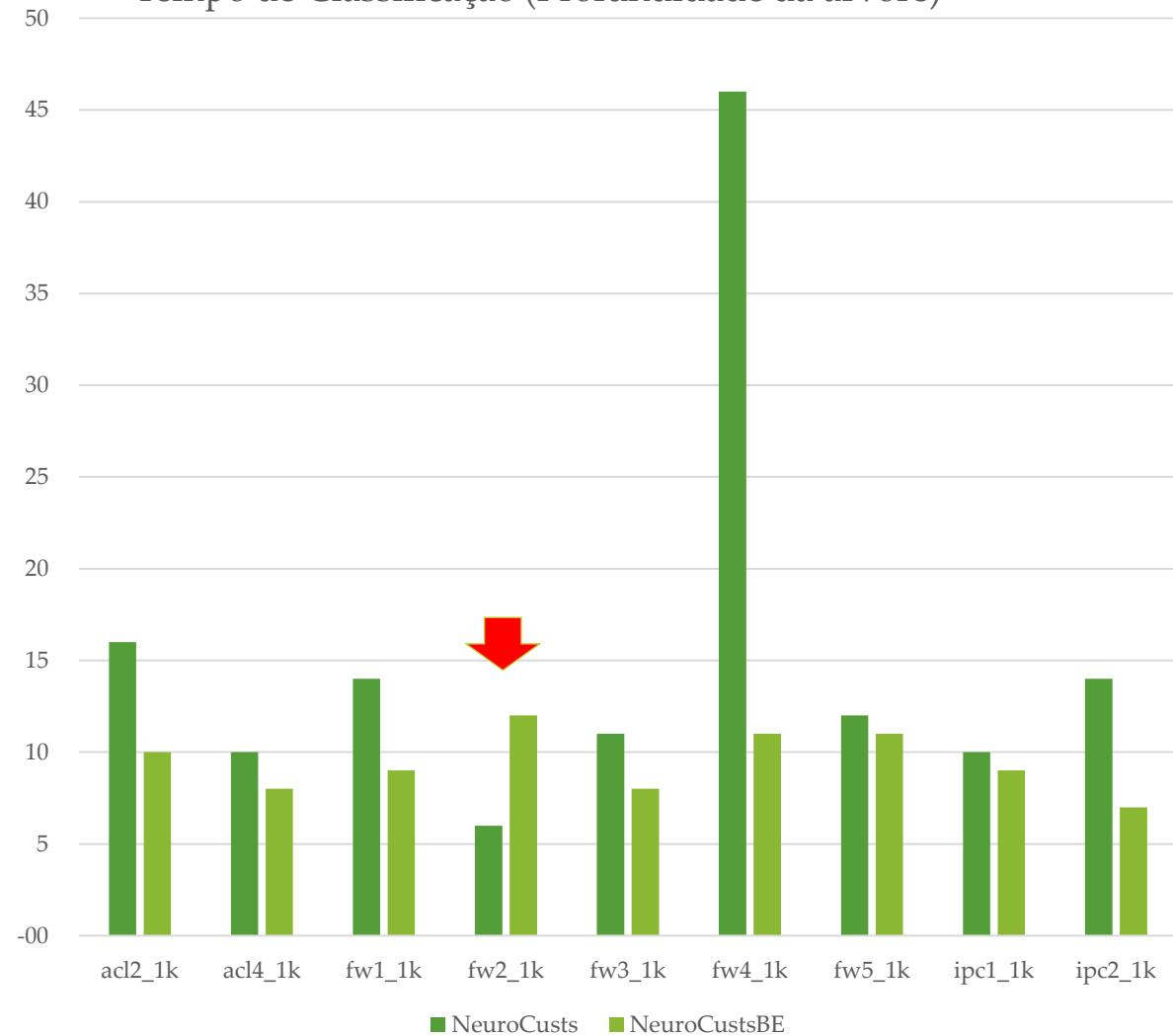
Tempo de Classificação (Profundidade da árvore)



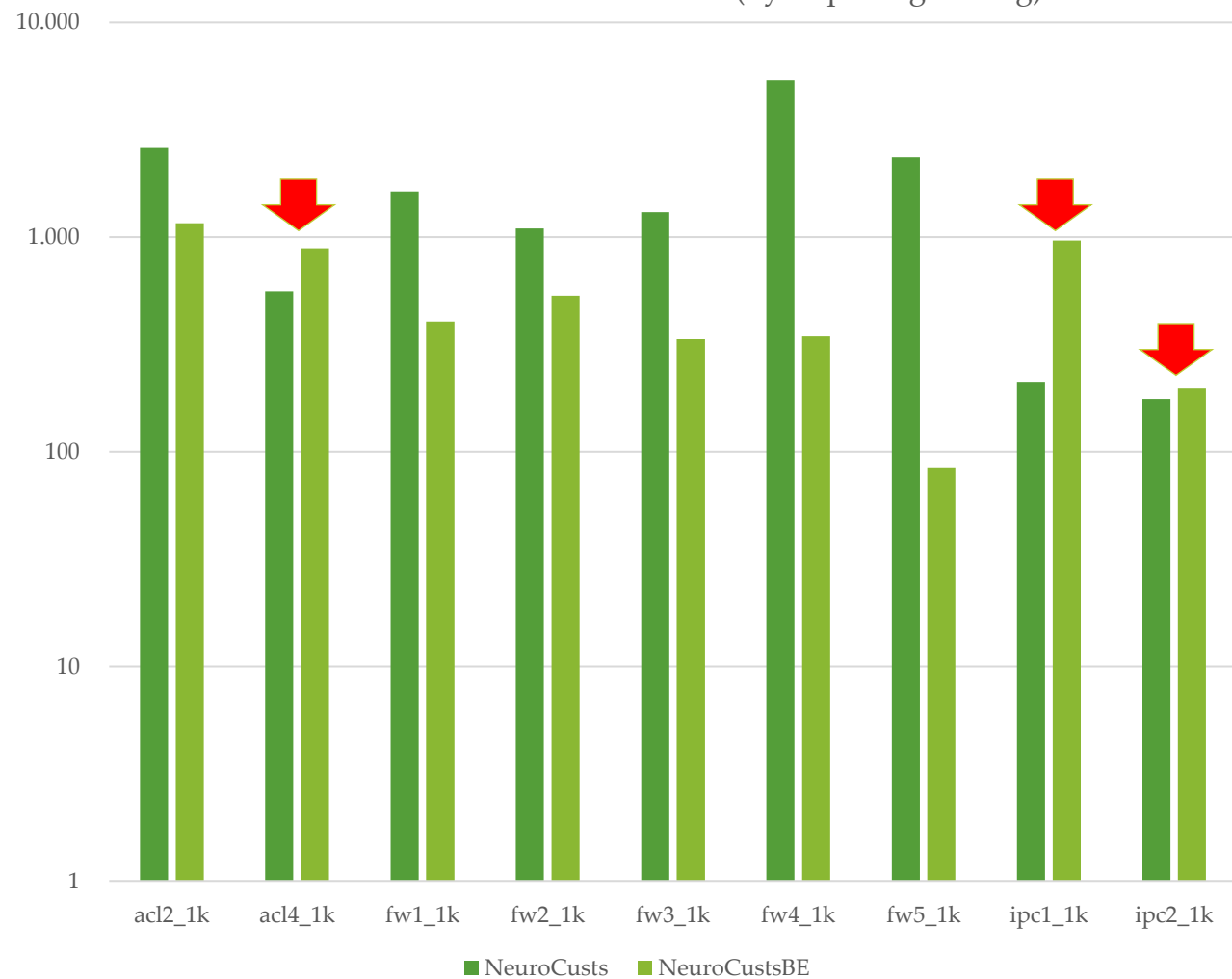
Podemos observar que somente no ClassBench (fw2_1k) o NeuroCuts obteve resultado melhor que NeuroCutsBE, nos demais o NeuroCutsBE produziu árvores que os demais algoritmos comparados. Esse resultado reforça que a utilização de BE faz com que o algoritmo produza árvores menores e utilize menos bytes por regra.

NeuroCuts versus NeuroCutsBE

Tempo de Classificação (Profundidade da árvore)



Área de cobertura da memória (Bytes por regra - Log)



Resultados:

- Apesar de adicionarmos 1 bit aos endereços de todos os arquivos analisados, o BE precisou de menos bits para representar o mesmo conjunto de endereços na maioria dos arquivos;
- O algoritmo BE precisa de menos memória para alocação dinâmica dos endereços IPv4, obtendo o valor médio de 12% quando comparado a valor original, o que representa o valor médio de 3 bits a menos por endereço.
- Em alguns casos, chegou a reduzir em 38% (fw2_1k) o espaço necessário para representar os endereços.

Resultados:

- O algoritmo BE precisa de menos memória para alocação estática dos endereços IPv4, obtendo o valor médio de 8% quando comparado a valor original, mesmo que no pior caso precise de 5 bytes para representar o endereço.
- Observamos que o ganho muda de acordo com os tipos de Class-Bench[11] analisados (acl, fw, ipc). Sendo que as regras do tipo "fw", são as que o algoritmo BE, obtém o melhor ganho, seja com alocação dinâmica ou estática. Ou seja, a melhora depende da entrada, varia de acordo com os endereços e políticas.

Resultados:

- Nossa abordagem de BE pode ser aplicada a outras heurísticas e algoritmos que precisam trabalhar com o conjunto de 32 bits dos endereços e máscaras de rede do protocolo IPv4.
- Podemos observar que nos ClassBench (acl4_1k, ipc1_1k e ipc2_1k) o NeuroCuts obteve resultado melhor que NeuroCutsBE, nos demais o resultado do NeuroCutsBE foi superior ao NeuroCuts original.

Resultados:

- Quando avaliamos a profundidade das árvores geradas, podemos observar que somente no ClassBench (fw2_1k) o NeuroCuts obteve resultado melhor que NeuroCutsBE, nos demais o NeuroCutsBE produziu árvores menores que o NeuroCuts original e os demais algoritmos comparados. Esse resultado reforça que a utilização de BE faz com que o algoritmo produza árvores menores e utilize menos bytes por regra.

Resultados:

- Os arquivos que contem regras de firewall foram o que obtivemos os melhores resultados médios de aproximadamente 18%.
- Com as reformulações inseridas no NeuroCuts, tentamos propor uma solução mais eficaz para o problema de CP. Nossa ideia é fornecer melhorias significativas no consumo de memória em comparação com os algoritmos citados e com a versão original do NeuroCuts.

Resultados:

- Se partimos do pressuposto que agora necessitamos de menos bits para representar o endereço IPv4 original, podemos construir árvores binárias que precisarão percorrer menos nós para chegara o nó de busca.

Trabalhos Futuros:

- Nossa abordagem de BE pode ser aplicada em algoritmos de construção de árvores binárias de endereços IPv4, para chegar mais rapidamente os nó de destino que representa o endereço, quando comparado aos 32 bits dos endereços de IP original. Deixamos este exemplo para que os pesquisadores validem a eficácia de BE em árvores binárias para endereços IP.
- Testar o algoritmo NeuroCuts com BE em conjunto de dados maiores para validar se efetivamente ele apresenta um resultado ainda melhor nesses conjunto de dados.

Trabalhos Futuros:

- Testar e comparar os algoritmos NeuroCuts e NeuroCutsBE com os parâmetros: simple, effcuts e cutsplit, para adicionarmos outras ações de partição de regra, além da ação de corte implementada do NeuroCuts.

Referências:

- [1] Christopher Amato and Guy Shani. 2010. High-Level Reinforcement Learning in Strategy Games. In Proceedings of the 9th International Conference on Autonomous Agents and Multiagent Systems: Volume 1 - Volume 1 (AAMAS '10). International Foundation for Autonomous Agents and Multiagent Systems, Richland, SC, 75–82.
- [2] Pankaj Gupta and Nick McKeown. 1999. Packet classification using hierarchical intelligent cuttings. In Hot Interconnects VII, Vol. 40.
- [3] Hasibul Jamil and Ning Weng. 2020. Multibit Tries Packet Classification with Deep Reinforcement Learning. In 2020 IEEE 21st International Conference on High Performance Switching and Routing (HPSR). IEEE, 1–6.
- [4] Wenjun Li, Xianfeng Li, Hui Li, and Gaogang Xie. 2018. Cutsplit: A decision-tree combining cutting and splitting for scalable packet classification. In IEEE INFOCOM 2018-IEEE Conference on Computer Communications. IEEE, 2645–2653.
- [5] Eric Liang, Hang Zhu, Xin Jin, and Ion Stoica. 2019. Neural packet classification. In Proceedings of the ACM Special Interest Group on Data Communication. 256–269.
- [6] Volodymyr Mnih, Koray Kavukcuoglu, David Silver, Alex Graves, Ioannis Antonoglou, Daan Wierstra, and Martin Riedmiller. 2013. Playing atari with deep reinforcement learning. arXiv preprint arXiv:1312.5602 (2013).
- [7] Alon Rashelbach, Ori Rottenstreich, and Mark Silberstein. 2020. A Computational Approach to Packet Classification. arXiv preprint arXiv:2002.07584 (2020).
- [8] David Silver, Thomas Hubert, Julian Schrittwieser, Ioannis Antonoglou, Matthew Lai, Arthur Guez, Marc Lanctot, Laurent Sifre, Dharmashan Kumaran, Thore Graepel, et al. 2018. A general reinforcement learning algorithm that masters chess, shogi, and Go through self-play. Science 362, 6419 (2018), 1140–1144.
- [9] Sumeet Singh, Florin Baboescu, George Varghese, and Jia Wang. 2003. Packet classification using multidimensional cutting. In Proceedings of the 2003 conference on Applications, technologies, architectures, and protocols for computer communications. 213–224.
- [10] Ion Stoica. 2019. Solving System Problems with Machine Learning. Studies in Informatics and Control 28, 2 (2019), 119–132.
- [11] David E Taylor and Jonathan S Turner. 2007. Classbench: A packet classification benchmark. IEEE/ACM transactions on networking 15, 3 (2007), 499–511.
- [12] Balajee Vamanan, Gwendolyn Voskuilen, and TN Vijaykumar. 2010. EffiCuts: optimizing packet classification for memory and throughput. ACM SIGCOMM Computer Communication Review 40, 4 (2010), 207–218.



UNIVERSIDADE FEDERAL
DE MATO GROSSO DO SUL

Dúvidas?

Obrigado!!!!!!